

Comprendre les données visuelles à grande échelle

ENSIMAG
2019-2020

KartEEK Alahari & Diane Larlus
17 octobre 2019



Organisation du cours

- 17/10/19 cours 1 - Diane
- 24/10/19 cours 2 - Karteek
- 07/11/19 cours 3 - Karteek
- 14/11/19 cours 4 - Diane
- 28/11/19 cours 5 - Karteek
- 05/12/19 cours 6 - Karteek
- 12/12/19 cours 7 - Diane
- 19/12/19 cours 8 - Diane

Vacances d'hiver

- 09/01/20 cours 9 - Diane + présentation articles 1 & 2 + quizz
- 16/01/20 cours 10 - Diane + présentation articles 3 & 4 + quizz
- 23/01/20 cours 11 - Karteek + présentation articles 5 & 6 + quizz
- 30/01/20 cours 12 - Karteek + présentation articles 7 & 8 + quizz

Attention: la salle change régulièrement

Cours 4: Recherche d'images - suite et fin

Comprendre les données visuelles à grande échelle
14 novembre 2019

Composant clé de la recherche d'images: Indexation

Comprendre les données visuelles à grande échelle

Cours 3: représentations d'images, 10 janvier 2019

Malédiction de la dimension

ou « fléau de la dimension » (*curse of dimensionality*)

Quelques propriétés surprenantes

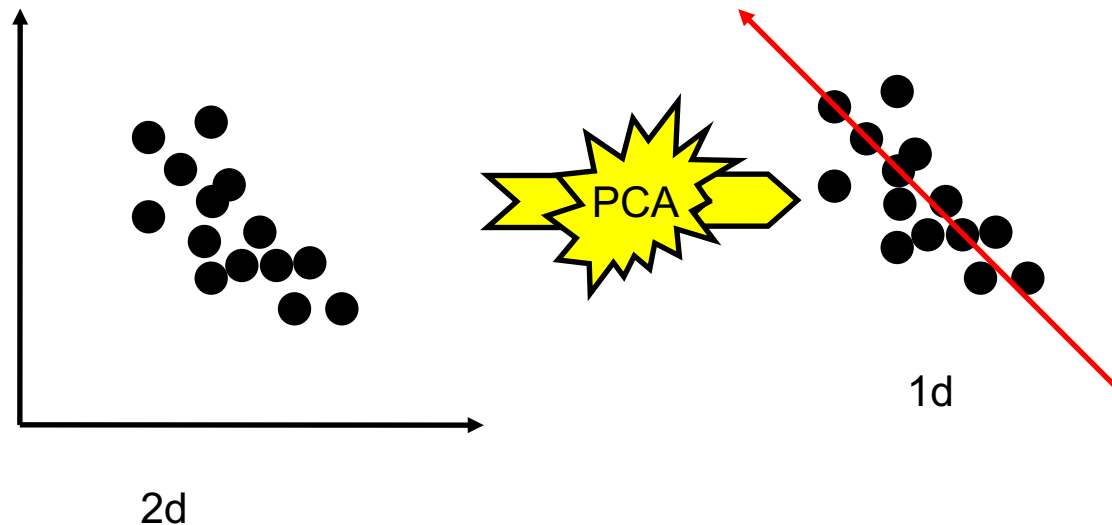
- ▶ *vanishing variance*: la distance entre paires de points tend à être identique quand d augmente
- ▶ phénomène de l'espace vide: si on discrétise l'espace, la plupart des cellules sont vides
- ▶ proximité des frontières: la plupart des points d'une hyper-sphère sont « proches » de la frontière

Réduction de la dimensionnalité

- Approche la plus courante :
analyse en composantes principales (ACP)
 - ▶ PCA en anglais : *Principal Component Analysis*

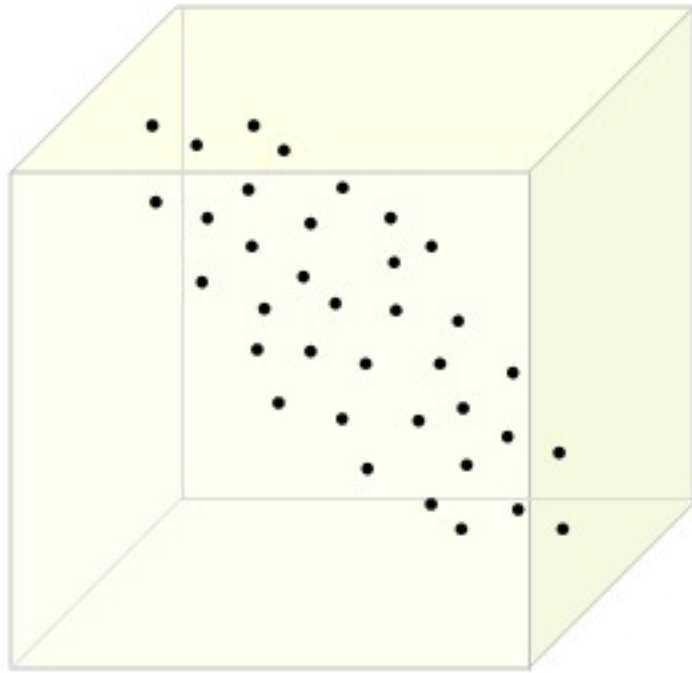
ACP

- Analyse des relations statistiques entre les différentes composantes
- Pour être capable de reproduire la plus grande partie de l'énergie d'un vecteur avec un nombre plus faible de dimension
 - ▶ élimination des axes peu énergétiques

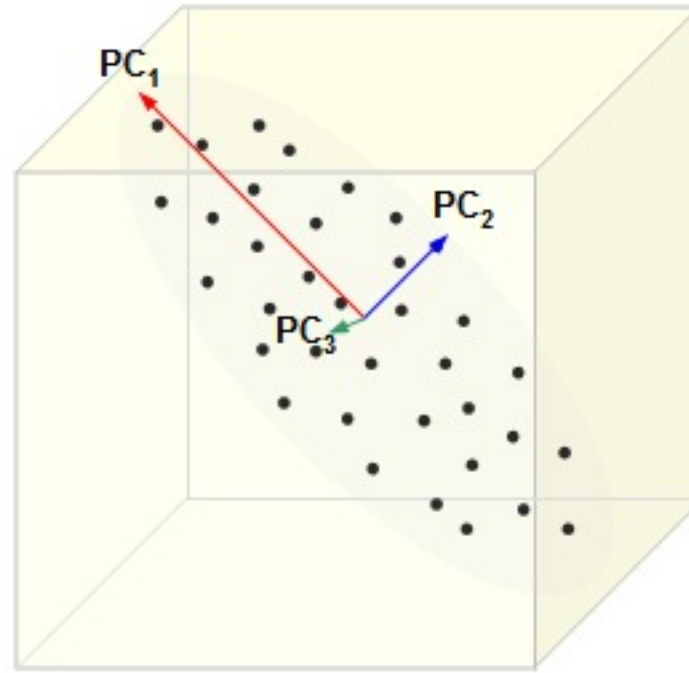


ACP

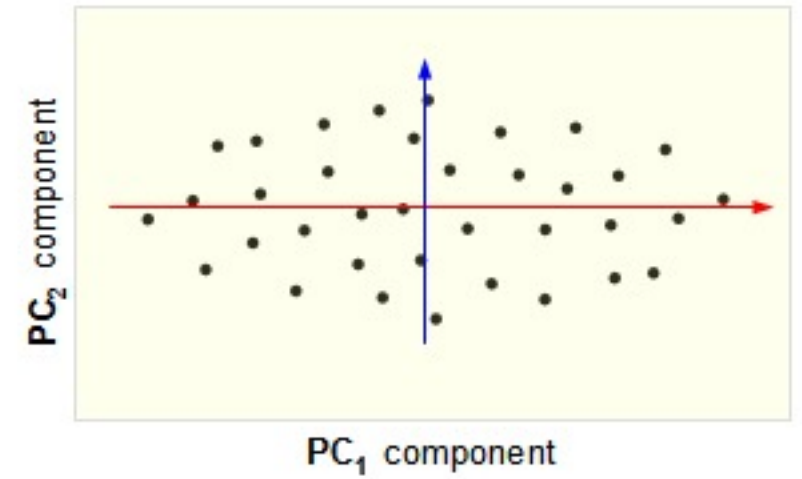
Exemple 3D vers 2D



a



b



c

ACP

- Il s'agit d'un changement de base (translation + rotation)
- On suppose N descripteurs $\{x_1, x_2, x_3, \dots, x_N\}$
- 4 étapes (*offline*)
 - ▶ Calcul de la moyenne des descripteurs
 - ▶ $\bar{x} = \frac{1}{N} \sum_1^N x_i$
 - ▶ Calcul de la matrice de covariance sur les vecteurs centrés
 - ▶ $C = \sum_1^N y_i y_i^T$ avec $y_i = x_i - \bar{x}$
 - ▶ Calcul des valeurs propres et vecteurs propres de la matrice de covariance
 - ▶ $C e_i = \lambda_i e_i$
 - ▶ Choix des d' composantes les plus énergétiques (+ grandes valeurs propres)
- Pour un vecteur, les nouvelles coordonnées sont obtenues par centrage et multiplication du vecteur par la matrice $d' \times d$ des vecteurs propres conservés

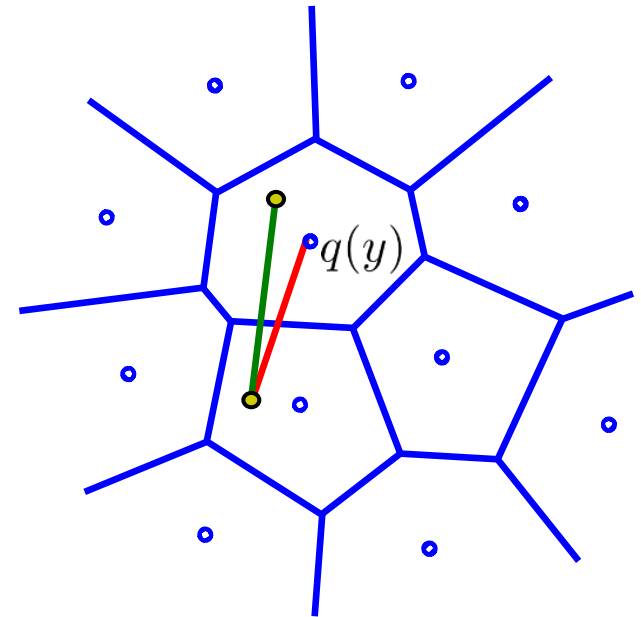
ACP

- Moins de dimensions, donc meilleur comportement des algorithmes de recherche
- Si la réduction préserve la plupart de l'énergie
 - ▶ les distances sont préservées
 - ▶ donc le + proche voisin dans l'espace transformé est aussi le plus proche voisin dans l'espace initial
- Limitations
 - ▶ utile seulement si la réduction est suffisamment forte
 - ▶ lourdeur de mise à jour de la base (choix fixe des vecteurs propres préférable)
 - ▶ peu adapté à certains types de données

Améliorer la finesse de la quantification: le quantificateur produit

$$d(x, y) \approx d(x, q(y))$$

- Problème d'approximation de distances entre requête x et vecteur y de la base
- il faut une quantification plus fine que quelques milliers de centroïdes
 - ▶ *k-means* (l'algorithme des k-moyennes) coûteux
 - ▶ assignement coûteux
 - ▶ stockage des centroïdes coûteux (même en hiérarchique)
- Solution: le **quantifieur produit** (*product quantization* ou PQ)

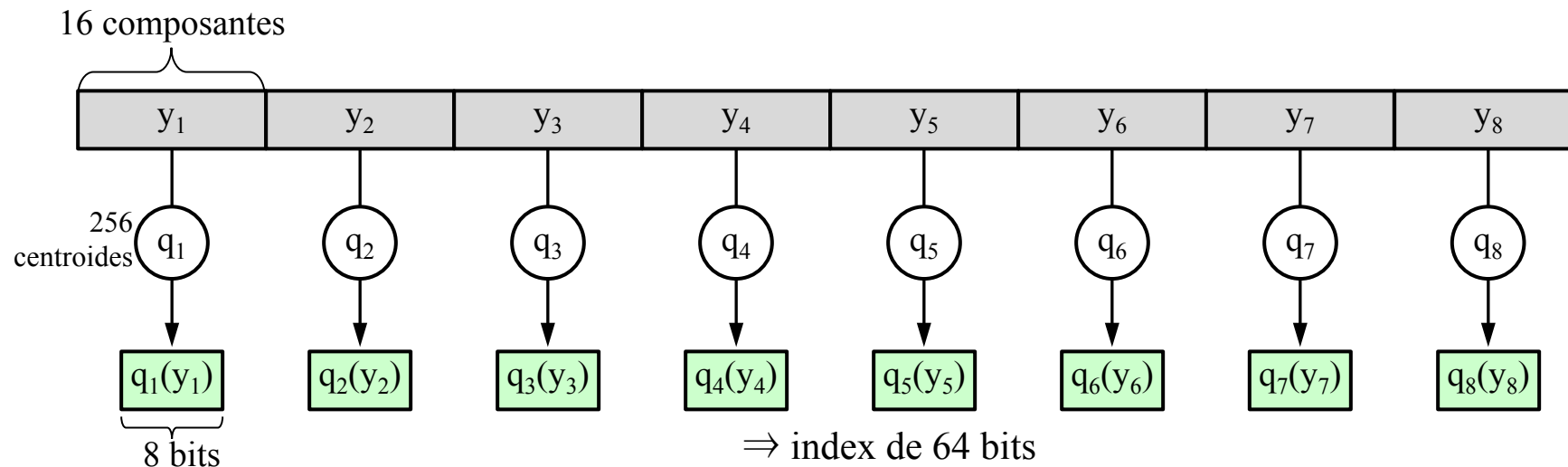


Quantificateur produit pour la recherche des plus proches voisins

- Vecteur coupé en m sous-vecteurs: $y \rightarrow [y_1 | \dots | y_m]$
- Sous-vecteurs quantifiés séparément: $q(y) = [q_1(y_1) | \dots | q_m(y_m)]$

chaque q_i a un petit vocabulaire

- Exemple de SIFT: y possède 128 dimensions. Il est découpé en 8 sous-vecteurs de dimension 16

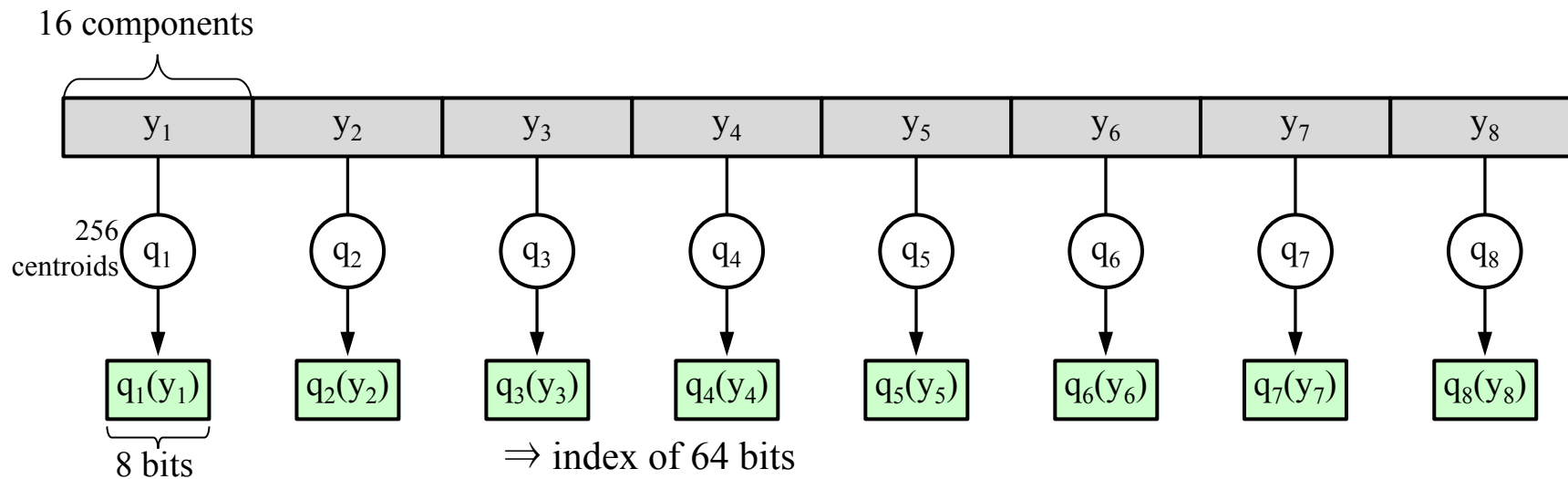
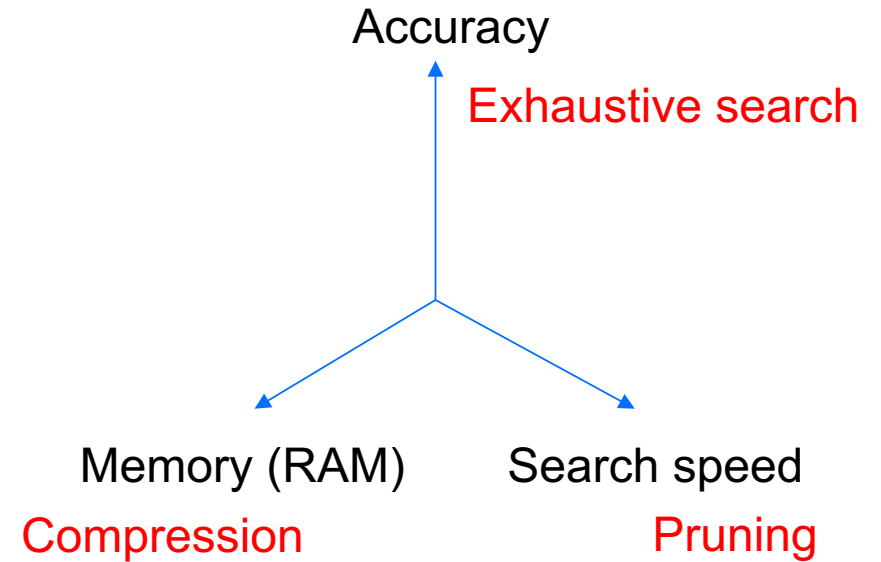


Ingredients of a full system 1/2

Trade-offs in similarity search

Compression

- Product Quantization (PQ)



[Hervé Jegou's tutorials]

Ingredients of a full system 2/2

Leveraging the topology of the gallery set

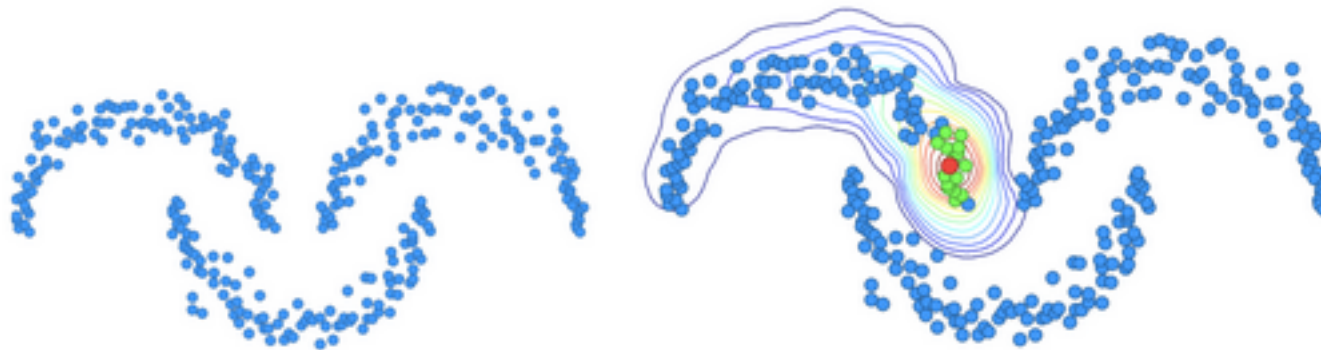
- Query expansion
 - Process the list of results (e.g. spatially verify)
 - If some images are good, use them to process some other augmented queries

[Chum et al. ICCV07,
Chum et al CVPR11]



- Diffusion

[Iscen et al. CVPR17, CVPR18]



Requêtes complexes: cross-modalité et recherches sémantiques

Comprendre les données visuelles à grande échelle

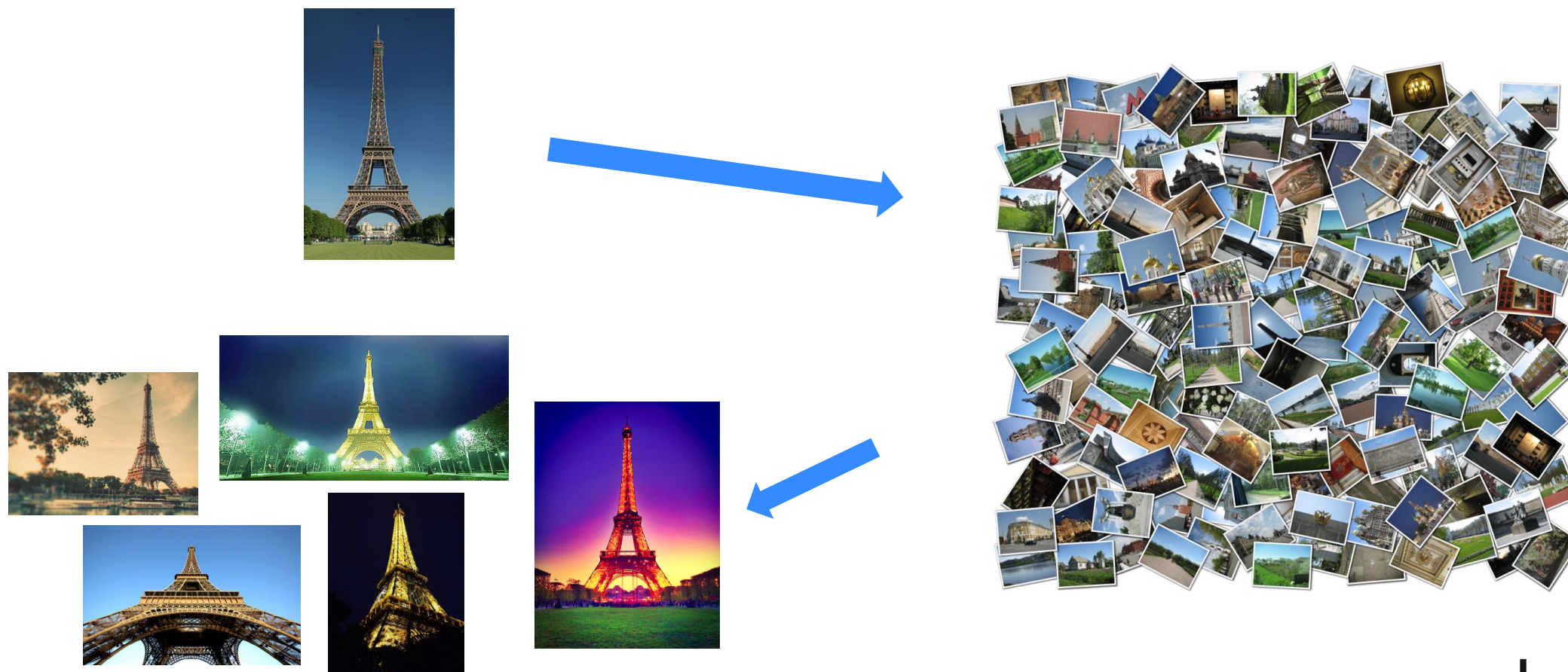
Cours 4: recherche d'images, 14 novembre 2019

Plan de la suite

- Recherche visuelle sémantique
 - Principe
 - Apprentissage d'une représentation dédiée
- Recherche cross-modale
 - Notion de plongement (*Embedding*)

La recherche visuelle classique

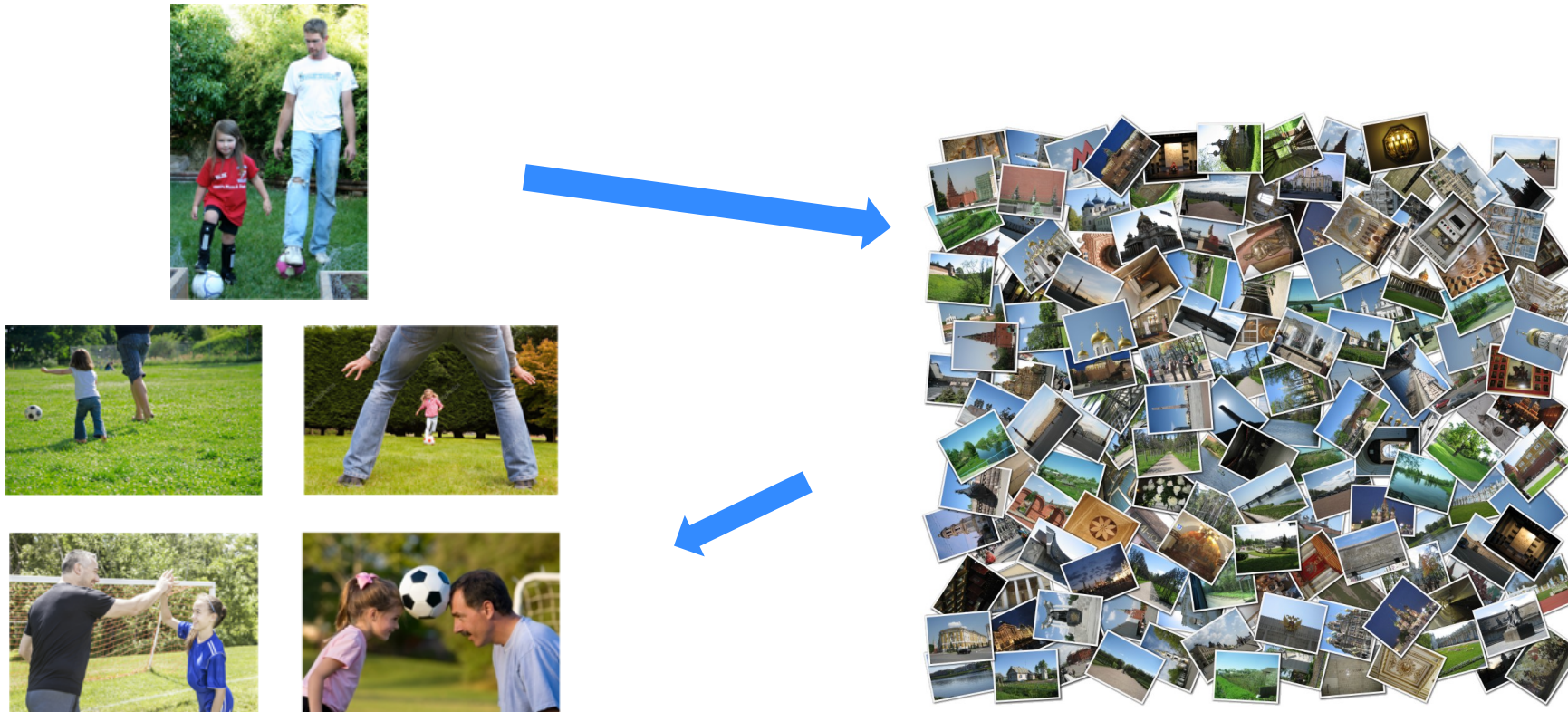
En général, la recherche d'images s'intéresse principalement à la recherche d'instances



Au delà de la recherche d'instances

Supposons que l'on s'intéresse à des requêtes complexes qui regardent toute la scène visuelle

- C'est ce qu'on appellera la **recherche visuelle sémantique** (ou *semantic retrieval*)



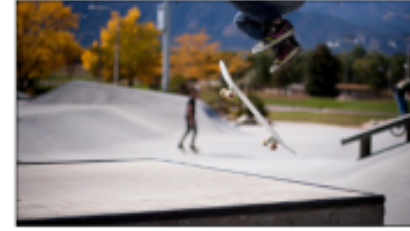
[Beyond instance-level image retrieval: Leveraging captions to learn a global visual representation for semantic retrieval. Gordo & Larlus. CVPR17]

Semantic image retrieval

Human-generated captions



- a boy **jumping** in the air with black **sneakers**
- a skateboarder doing a **trick**
- a skateboarder in the **air**
- **concrete** skateboard ramp



- A person is doing **trick** on the **skateboard**
- person **jumping** above **skateboard**
- The person is wearing **sneakers**
- a **concrete** skatepark
- railing on **ramp** surface

semantically similar



- the person is **lying** on the ground
- the person is standing on the ground
- man holding a **frisbee**
- **shadow** of a person

Semantically dissimilar



- The **woman** in purple on the **steps**
- the person has on **boots**
- open purple **umbrella**
- the person has on **boots**
- Woman** in a garden holding an **umbrella**



- a **woman** under a **umbrella**
- brown leather **boots** on legs
- black **umbrella** is open
- step** leading to a door

semantically similar

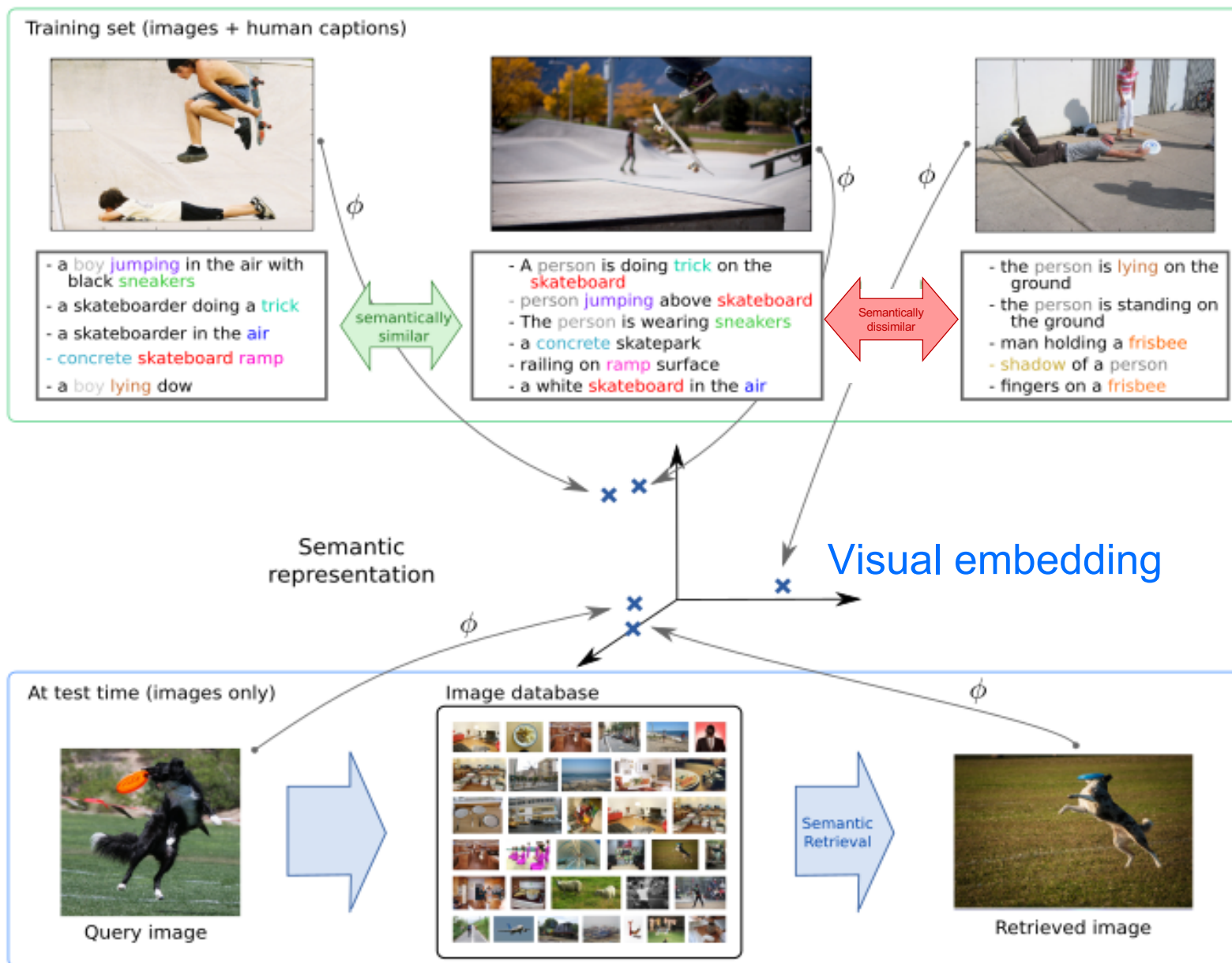
[Gordo & Larlus. CVPR17]

Semantic image retrieval

Building visual representations:

Intuition

For images with similar captions:
Visual representation close in the **semantic embedding space**

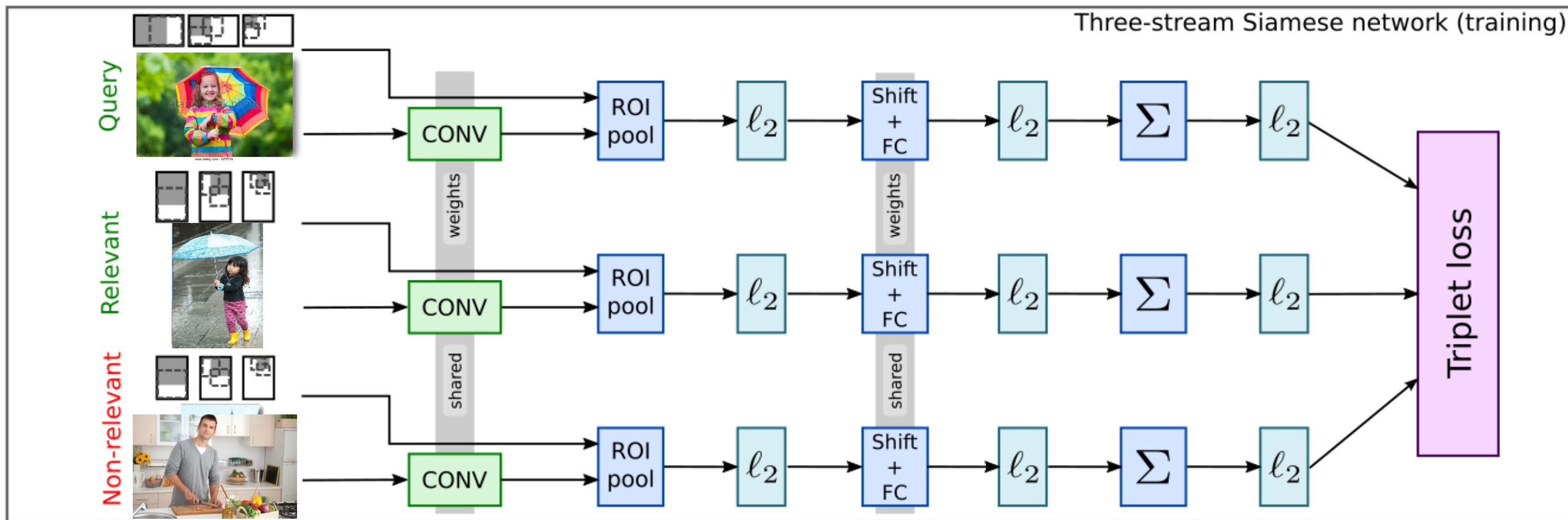


[Gordo & Larlus. CVPR17]

Learning a semantic embedding

- Learning to rank
 - Three-stream Siamese Network

[Gordo@ECCV16,
Gordo@IJCV17]



Learning a semantic embedding

Visual loss:

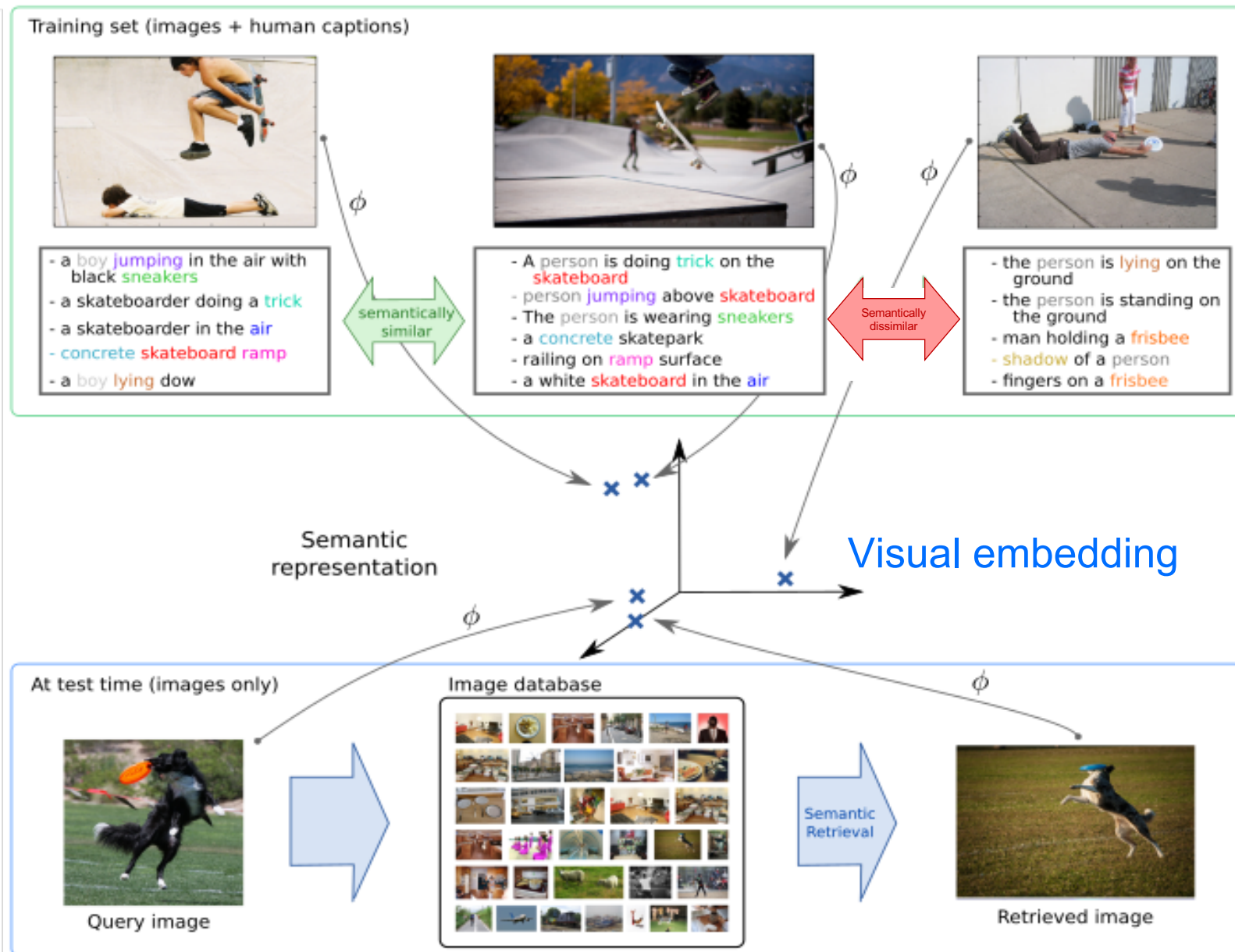
$$L_v(q, d^+, d^-) = \frac{1}{2} \max(0, m - \phi_q^T \phi_+ + \phi_q^T \phi_-)$$

[Gordo & Larlus. CVPR17]

Semantic image retrieval

Training the model

The **visual representation** of images with similar captions are close in the **semantic embedding space**



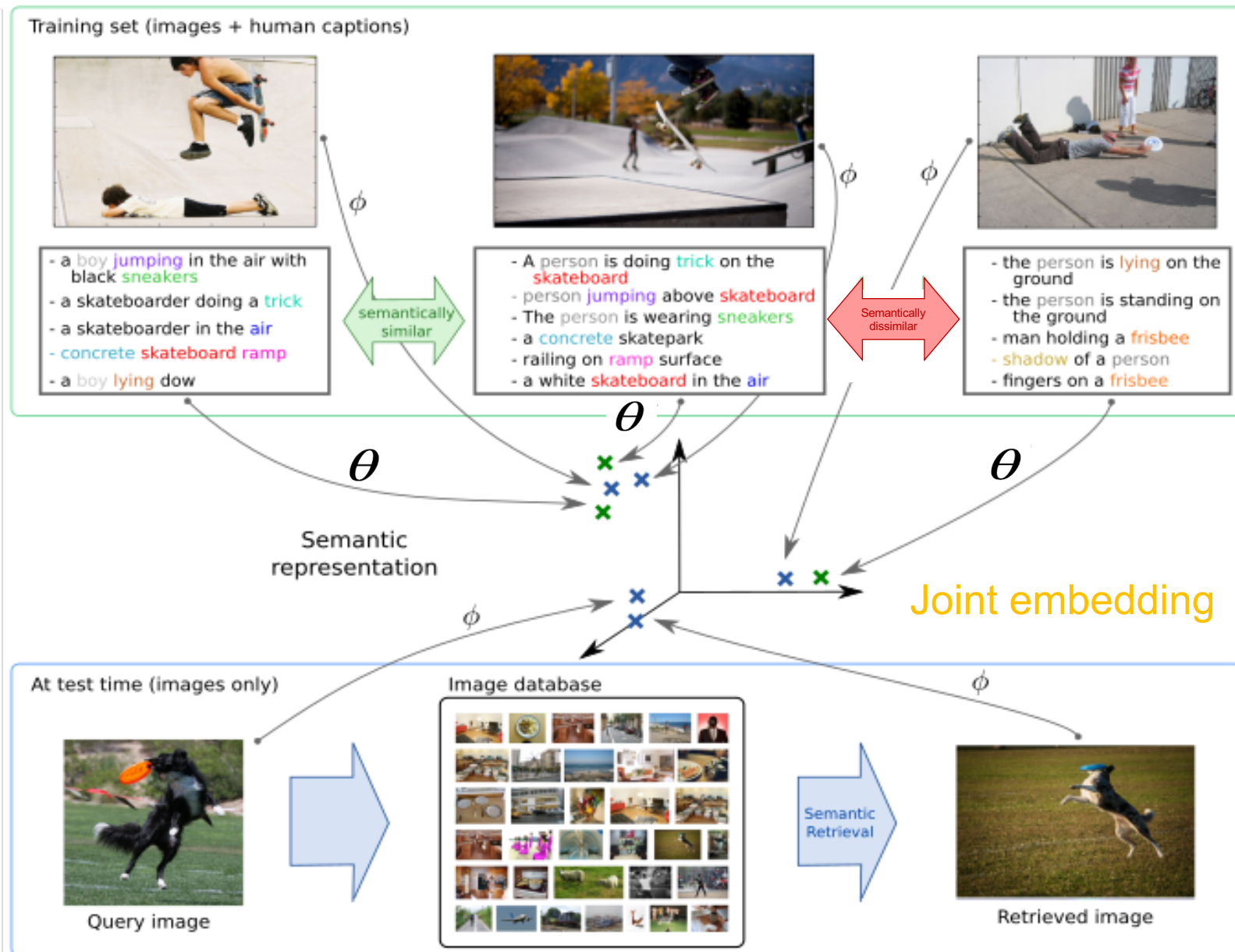
[Gordo & Larlus. CVPR17]

Semantic image retrieval

Training the model

The **visual representation** of images with similar captions are close in the **semantic embedding space**

The **textual representation** of corresponding captions are close in the **semantic embedding space**

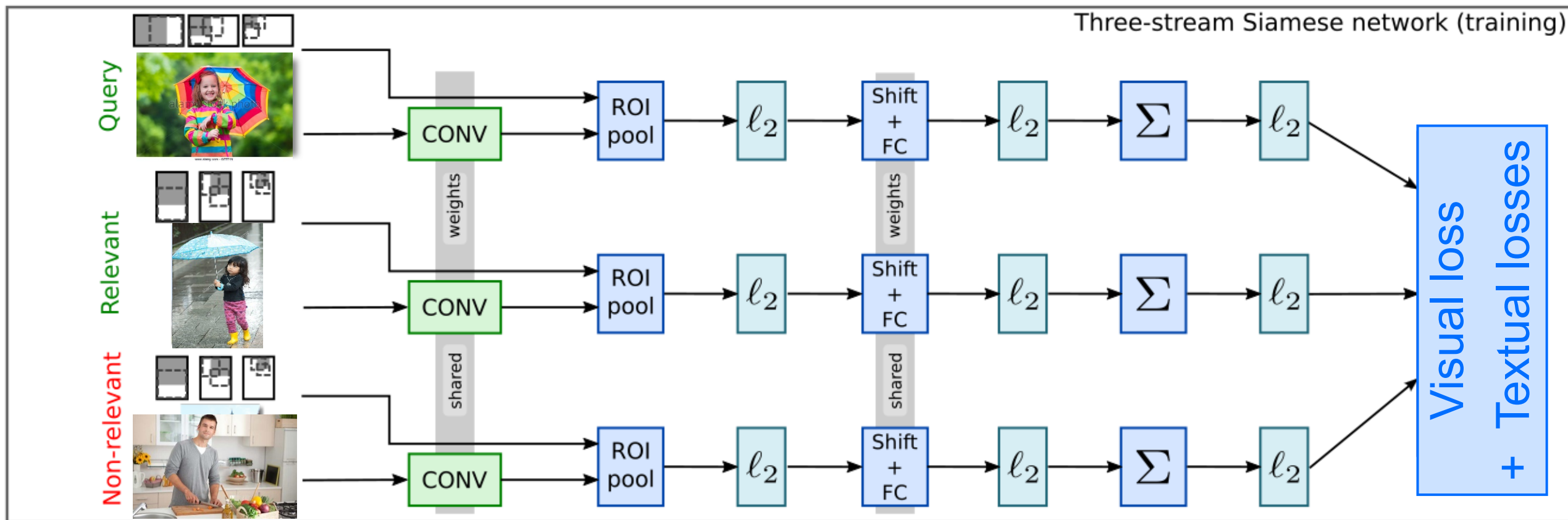


[Gordo & Larlus. CVPR17]

Learning a semantic embedding

[Gordo@ECCV16,
Gordo@IJCV17]

- Learning to rank
 - Multiple losses are used to learn a good visual representation



Learning a semantic embedding

Visual loss:

$$L_v(q, d^+, d^-) = \frac{1}{2} \max(0, m - \underbrace{\phi_q^T \phi_+}_{\text{blue}} + \underbrace{\phi_q^T \phi_-}_{\text{blue}})$$

Textual losses:

$$L_{t1}(q, d^+, d^-) = \frac{1}{2} \max(0, m - \underbrace{\phi_q^T}_{\text{blue}} \underbrace{\theta_+}_{\text{green}} + \underbrace{\phi_q^T}_{\text{blue}} \underbrace{\theta_-}_{\text{green}})$$

$$L_{t2}(q, d^+, d^-) = \frac{1}{2} \max(0, m - \underbrace{\theta_q^T}_{\text{green}} \underbrace{\phi_+}_{\text{blue}} + \underbrace{\theta_q^T}_{\text{green}} \underbrace{\phi_-}_{\text{blue}})$$

[Gordo & Larlus. CVPR17]

Semantic retrieval: qualitative results



[Gordo & Larlus. CVPR17]

Semantic retrieval: qualitative results



[Gordo & Larlus. CVPR17]

Semantic retrieval: leveraging the joint embedding

The joint embedding allows for multimodal queries



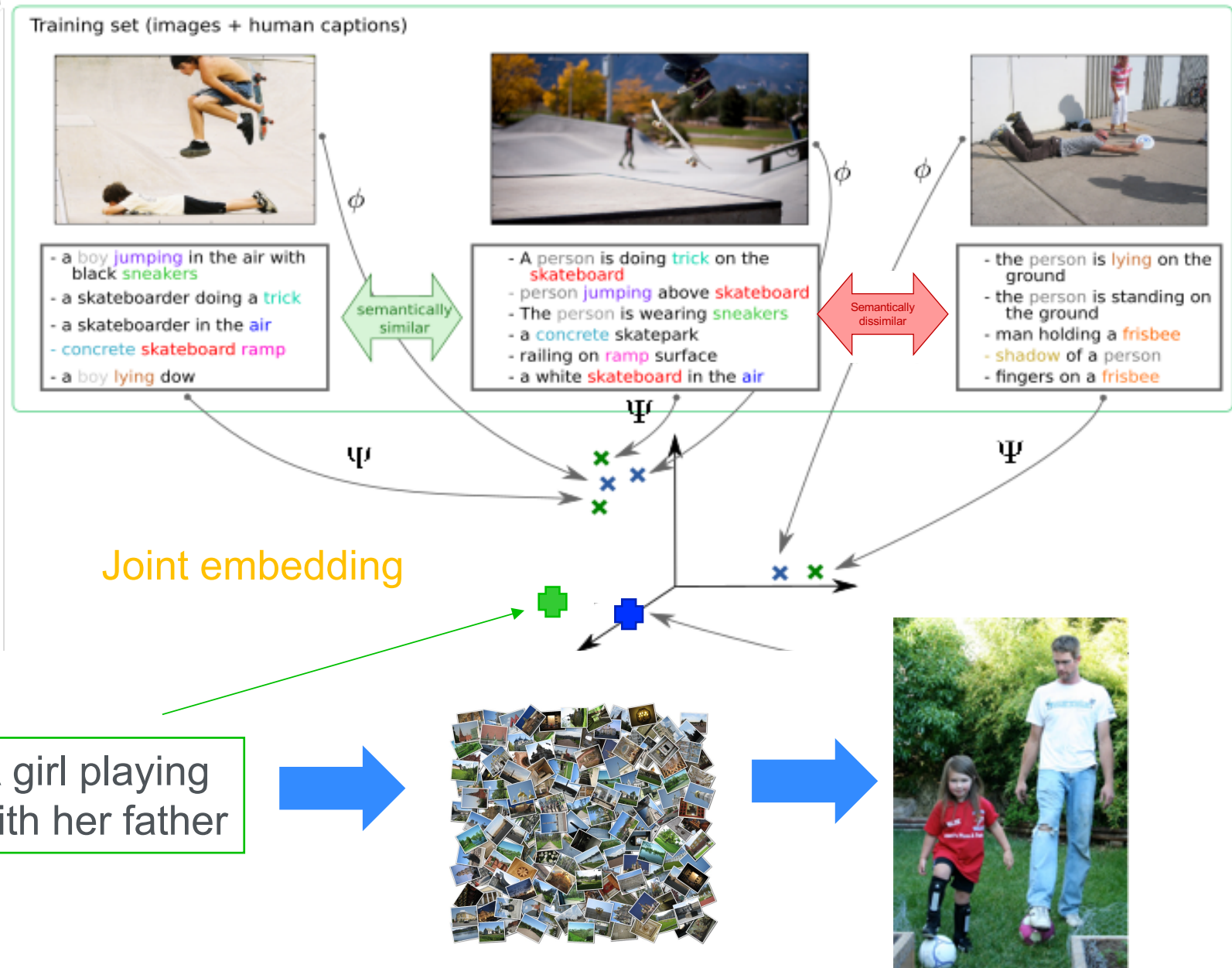
[Gordo & Larlus. CVPR17]

Text-to-image and Image-to-text retrieval

Offline: build a joint text+image representation by training a **joint embedding space = the semantic embedding**

The semantic embedding space is good for cross-modal searches

Online: embed the query in the joint embedding space, and compare the obtained vector with the embedding vectors of all the elements in the data set



A girl playing with her father



BACKUP SLIDES

Comprendre les données visuelles à grande échelle
Cours 4: recherche d'images, 14 novembre 2019

Mesures et évaluation – Backup slides

Rappels sur les distances et les mesures de similarité
(si c'est un peu trop loin)

Distances et mesures de similarité : objectif

- Avoir un outil quantitatif pour répondre à la question

Est-ce que deux entités X et Y se ressemblent ?

- Lorsqu'on désire comparer des entités, on cherche à obtenir un scalaire indiquant la proximité de ces entités
- La mesure utilisée répond à un objectif particulier
- Par exemple:
 - ▶ compression d'image : comparer la qualité de reconstruction d'une image compressée avec l'image originale
 - ▶ mise en correspondance d'images : indiquer la similarité du contenu de deux images (exemple du début de chapitre)

Distance

- Une **distance** d sur un ensemble E est une application de $E \times E$ dans \mathbb{R}^+ vérifiant les axiomes suivants
 - ▶ (P1) séparation $d(x,y) = 0 \Leftrightarrow x = y$
 - ▶ (P2) symétrie $d(x,y) = d(y,x)$
 - ▶ (P3) inégalité triangulaire $d(x,z) \leq d(x,y) + d(y,z)$

Distances usuelles sur R^n

$x = (x_1, \dots, x_i, \dots, x_n)$ dans R^n

- Distance Euclidienne (ou distance L2)

$$d(x, y) = \sqrt{\sum_i (x_i - y_i)^2}$$

- Distance de Manhattan (ou distance L1)

$$d(x, y) = \sum_i |x_i - y_i|$$

- Plus généralement, distance de Minkowski (ou p-distance)

$$d(x, y) = \sqrt[p]{\sum_i (x_i - y_i)^p}$$

- Cas particulier : distance ∞

$$d(x, y) = \max_i |x_i - y_i|$$

Distance de Mahalanobis

- Observation : les différentes composantes d'un vecteur ne sont pas forcément homogènes, et peuvent être corrélées
- Comment comparer deux vecteurs ?
 - ▶ Nécessité de pondérer les composantes
 - ▶ Connaissance a priori sur la répartition des points :
 - Matrice de covariance Σ (apprise sur un jeu de données)

Définition : **la distance de Mahalanobis** est

$$d(x, y) = \sqrt{(x - y)^T \Sigma^{-1} (x - y)}$$

- Si $\Sigma = Id$, alors elle est équivalente à la distance Euclidienne
- Si changement de repère $x \rightarrow Lx$ où L est la décomposition de Cholesky de $\Sigma^{-1} = L^T L$ alors la distance de Mahalanobis dans l'espace d'origine = distance L2 dans le repère transformé

Metric learning

Et si on dispose de données annotées avec des exemples de ce qui est similaire et de ce qui ne l'est pas ?

- Utiliser les données pour calculer une bonne métrique
- On peut voir l'apprentissage de cette métrique comme l'apprentissage d'une nouvelle représentation

Metric learning - un exemple

- Exemple dans le domaine linéaire

$$\|x - x'\|_W^2 = (x - x')^\top W^\top W (x - x')$$

- Supervisé:

- ▶ les points appartiennent à des classes (= ils ont des labels)
- ▶ Objectif
 - ▶ maximiser la distance entre points de classes différentes
 - ▶ minimiser la distance entre points de la même classe

- Trouver W (méthode LMNN)

- ▶ échantillonner des triplets (q, p, n) , minimiser

$$L = \sum_{q=1}^N \sum_{p \in P_q} \sum_{n \in N_q} L_{qpn},$$

- ▶ descente de gradient en fonction de W

$$L_{qpn} = [1 + \|x_q - x_p\|_W^2 - \|x_q - x_n\|_W^2]_+,$$

- Plus pertinent que Mahalanobis

- ▶ proche de l'objectif: classification par plus proche voisin

Metric Learning for Large Scale Image Classification: Generalizing to New Classes at Near-Zero Cost,
Thomas Mensink ; Jakob Verbeek ; Florent Perronnin ; Gabriela Csurka, ECCV 2012

Autres distances

- Distance du χ^2 (khi-deux ou *chi-square distance*) pour comparer deux distributions (histogrammes)

$$d(x, y) = \sqrt{\sum_i \frac{(x_i - y_i)^2}{x_i + y_i}}$$

- Valorise les variations dans les petites composantes d'un histogramme
- Mahalanobis « du pauvre » quand on n'a pas de données pour calculer une matrice de covariance

Quasi-distance, similarité / dissimilarité

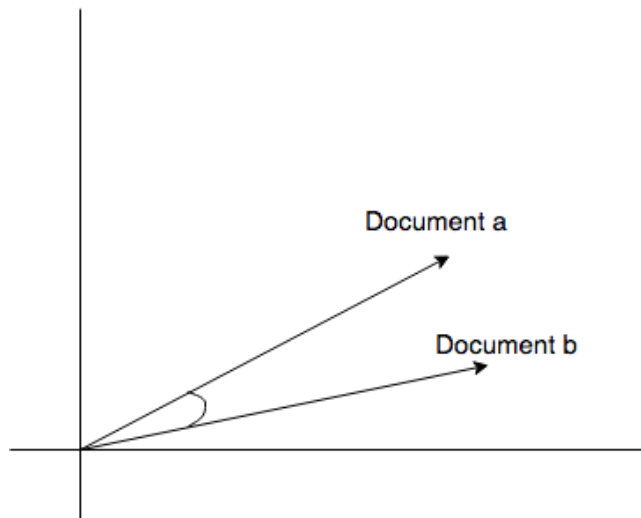
- La notion de distance n'est pas toujours adaptée, car elle impose des axiomes très forts qui ne servent pas directement l'objectif recherché
- Une **quasi-distance** q est une application de $E \times E$ dans R^+ vérifiant les axiomes suivants
 - ▶ (P1') $x = y$ **implique** $d(x,y) = 0$
 - ▶ (P2) symétrie : $d(x,y) = d(y,x)$
 - ▶ (P3) inégalité triangulaire: $d(x,z) \leq d(x,y) + d(y,z)$
- Une quasi-distance peut être nulle entre des objets différents
- Plus général encore: mesure de **dissimilarité** ou de **similarité**
- Lien évident entre similarité / dissimilarité
 - ▶ Faible mesure de similarité = forte mesure de dissimilarité
- Toute distance ou quasi-distance est une mesure de dissimilarité

Exemple

- Le cosinus est une mesure de similarité
 - ▶ pour des vecteurs normalisés, équivalent au **produit scalaire**
 - ▶ Calcule la similarité entre deux vecteurs en déterminant le cosinus de l'angle entre eux

$$\text{similarity} = \cos(\theta) = \frac{A \cdot B}{\|A\| \|B\|} = \frac{\sum_{i=1}^n A_i B_i}{\sqrt{\sum_{i=1}^n A_i^2} \sqrt{\sum_{i=1}^n B_i^2}}$$

Cosine Similarity



$$\text{sim}(a, b) = \cos\theta = \frac{\vec{a} \cdot \vec{b}}{\|\vec{a}\| \|\vec{b}\|}$$

Merci